

ΜΕΤΑΛΛΟΥΡΓΙΑ.— **Αἱ δεξαμεναὶ ὕδατος τῆς ἀρχαίας μεταλλουργίας εἰς τὸ Λαύριον καὶ τὸ εἰδικὸν στεγανοποιητικὸν ἐπίστρωμα τούτων, ὑπὸ Κωνσταντίνου Κονοφάγου καὶ Ἐλένης Μπαντένα***. Ἀνεκοινώθη ὑπὸ τοῦ Ἀκαδημαϊκοῦ κ. Σπυρίδωνος Μαρινάτου.

1. ΓΕΝΙΚΑ

Εἰς τὴν παροῦσαν ἀνακοίνωσιν ἔχομεν τὴν τιμὴν νὰ ἐκθέσωμεν ὠρισμένα ἀποτελέσματα μελετῶν μας ἐπὶ τῶν ἀρχαίων δεξαμενῶν ὕδατος τῆς Λαυρεωτικῆς, τὰ δόποια νομίζομεν ὅτι ἐμφανίζουν ἰδιαιτερούς ἐνδιαφέροντος.

Εἰς τὸ Λαύριον ὑπάρχουν εἰσέτι κατὰ δεκάδας δεξαμεναὶ ὅμβρίου ὕδατος, τὰς δόποιας ἔχοντας ποιητικὸν σχέδιον οἱ ἀρχαῖοι Ἐλληνες διὰ τὴν τροφοδότησιν τῶν πλυντηρίων ἐμπλουτισμοῦ τῶν μεταλλευμάτων τῆς Λαυρεωτικῆς.

Εἰς τὴν φωτογραφίαν 1 δίδονται χαρακτηριστικὰ τοιαύται δεξαμεναί. Αἱ δεξαμεναὶ αὗται εἶναι μεγάλης τεχνικῆς σημασίας, ἰδίως ἐκ τοῦ λόγου ὅτι διὰ τὴν στεγανοποίησίν των οἱ ἀρχαῖοι ἔχοντας ποιητικὸν σχέδιον στεγανοποιητικὸν ἐπίστρωμα ἔξαιρετικῶν ἰδιοτήτων.

Εἰδικῶτερον, ἡ ἀνακοίνωσίς μας περιλαμβάνει δύο τινά :

1. Τοπογραφικὸν σχέδιον τῆς Λαυρεωτικῆς, εἰς τὸ δόποιον ἐσημειώθησαν ἰδιαιτερώς αἱ ἐν τῷ χώρῳ τούτῳ ἀρχαῖαι μεταλλουργικαὶ ἐγκαταστάσεις, ἥτοι δεξαμεναί, πλυντήρια καὶ κάμινοι.

2. Πειραματικὴν ἐργασίαν διὰ τὸν προσδιορισμὸν τοῦ συντελεστοῦ ὕδρο-περατότητος τοῦ εἰδικοῦ στεγανοποιητικοῦ ἐπιστρώματος, τοῦ χρησιμοποιηθέντος εἰς τὰς δεξαμενὰς τοῦ Λαυρίου. Ὁ προσδιορισμὸς τοῦ συντελεστοῦ τούτου ἀποτελεῖ καὶ τὸ κεντρικὸν σημεῖον τῆς προκειμένης ἀνακοίνωσεως. Ὡς ἀπέδειξεν ἡ σχετικὴ πειραματικὴ ἐργασία, ὁ συντελεστὴς ὕδροπερατότητος ἔχει τιμὴν μηδέν. Τὰ στεγανοποιητικὰ κονιάματα, τὰ χρησιμοποιηθέντα ὑπὸ τῶν ἀρχαίων Ἐλλήνων εἰς τὰς δεξαμενὰς καὶ τὰ πλυντήρια τοῦ Λαυρίου, ἀπετέλεσαν τμῆμα διδακτορικῆς διατριβῆς ὑπὸ τὸν τίτλον, «Τὰ στεγανοποιητικὰ κονιάματα ἀρχαίων Ἑλληνικῶν δεξαμενῶν ὕδατος», τὴν δόποιαν δὲ τετερος ἐξ ἡμῶν ὑπέβαλεν ἐπιτυχῶς εἰς τὸ Ε. Μ. Πολυτεχνεῖον.

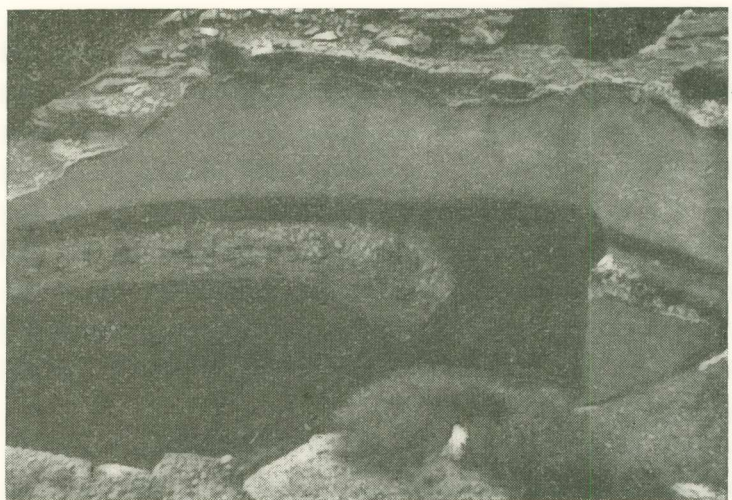
Εἰς τὴν διατριβὴν ἐδόθη ἡ σύστασις τοῦ εἰδικοῦ στεγανοποιητικοῦ ἐπιστρώματος. Δὲν περιελαμβάνετο πάντως πειραματικὴ μελέτη ἐπὶ τῆς ἀκριβοῦς τιμῆς τοῦ συντελεστοῦ ὕδροπερατότητος τοῦ ἐπιστρώματος τούτου.

Περαιτέρω δίδεται ἡ ἐργασία μας εἰς γενικὰς γραμμάς.

* CONSTANTINOS CONOPHAGOS - HELEN BADECA, *The water cisterns of ore washers in Laurion and their special hydraulic mortar.*

2. ΤΟΠΟΓΡΑΦΙΚΑ ΣΤΟΙΧΕΙΑ ΚΑΙ ΠΡΟΗΓΟΥΜΕΝΑΙ
ΣΧΕΤΙΚΑΙ ΕΡΓΑΣΙΑΙ

Ἡ πρώτη ἀποτύπωσις τῶν ἀρχαιοτήτων τοῦ Λαυρίου ἐπραγματοποιήθη μεταξὺ τῶν ἐτῶν 1881 καὶ 1900 ὑπὸ τῶν Γερμανῶν ἀρχαιολόγων E. Curtius



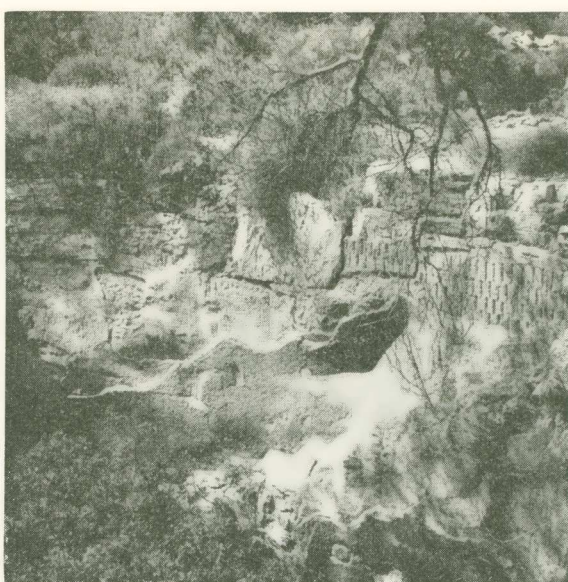
Εἰκὼν 1. Φωτογραφίαι δεξαμενῶν Λαυρίου μὲ τὸ εἰδικὸν στεγανοποιητικὸν ἐπίστρωμα.

καὶ J. A. Kaupert. Οἱ ἀναφερόμεντες ἀρχαιολόγοι συνέταξαν γενικὸν χάρτην τῆς Ἀττικῆς ὑπὸ κλίμακα 1 : 12.500, ἐπὶ τοῦ ὅποίου ἀπεικονίζοντο αἱ κατὰ τὴν

έποχὴν ἔκεινην ἐπὶ τοῦ ἐδάφους ἀρχαιότητες. Εἰς ἵδιαίτερον φύλλον τοῦ χάρτου ἀπεικονίζετο ἡ Λαυρεωτικὴ μετὰ τῶν τότε ἐπὶ τοῦ ἐδάφους ἔφειπίων τῶν ἀρχαίων μεταλλουργικῶν ἔργων καὶ μεταλλευτικῶν φρεάτων. Ὁ χάρτης ὅμως οὗτος εἶχεν ἔλλειψεις. Ἐξ ἄλλου πολλὰ ἀρχαῖα ἔργα ἔχουν ἐν τῷ μεταξὺ καταστραφῆ.

Νεώτεραι ἀποτυπώσεις δὲν ἥσαν ἴκανοποιητικαὶ διὰ τὰς ἀπαιτήσεις μαζ.

Διὰ τὴν πλήρωσιν τοῦ σημαντικοῦ προκύπτοντος κενοῦ ἀνελάβομεν ἀπὸ τῶν



Εἰκὼν 2. Φωτογραφία δεξαμενῆς Λαυρίου. Διακρίνεται ἡ λιθοδομὴ μετὰ τοῦ σκυροκονιάματος.

ἀρχῶν τοῦ 1973 νὰ πραγματοποιήσωμεν συστηματικὴν ἀποτύπωσιν, ἥτις καὶ ἐπεριστώθη κατ' Ὀκτώβριον τοῦ ἰδίου ἔτους.

Ἡ ἀποτύπωσις ἐγένετο ὑπὸ τῶν τοπογράφων μηχανικῶν κ. Π. Στόκου, Δ/δων Α. Στεφανίδου καὶ Α. Τσάγκαρη ὑπὸ τὴν ἐπίβλεψιν τοῦ κ. Ι. Μπαντέκα, καθηγητοῦ τοῦ Ε. Μ. Πολυτεχνείου.

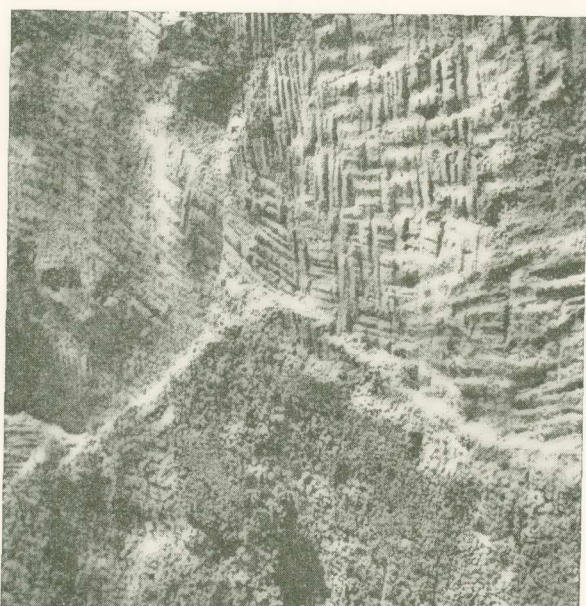
³ Αποτέλεσμα τῆς προσπαθείας ταύτης ὑπῆρξεν ἡ κατάρτισις τοπογραφικοῦ διαγράμματος ὑπὸ κλίματα 1 : 10.000 (χάρτης 1), ἐπὶ τοῦ διοίου σημειοῦνται μετ' ἐπαρκοῦς ἀκριβείας τὰ ἀρχαῖα μεταλλουργικὰ ἔργα εἰς τὴν Λαυρεωτικήν, τὰ διοῖα εῖναι κυρίως τριβεῖα, δεξαμεναί, πλυντήρια, ἐλικοειδῆ πλυντήρια, κάμινοι, ὡς καὶ μεταλλευτικὰ ἐπὶ τοῦ ἐδάφους ἔργα, ἥτοι φρέατα καὶ εἴσοδοι στοῶν.

Τοῦ χάρτου ἀριθμ. 1 δίδονται τὰ σπουδαιότερα τμήματα ὑπὸ κλίμακα 1 : 10.000. Χάρται Α, Β, Γ, Δ καὶ Ε.

3. ΣΤΕΓΑΝΟΠΟΙΗΣΙΣ ΤΩΝ ΔΕΞΑΜΕΝΩΝ

Ἡ φέρουσα κατασκευὴ τῶν δεξαμενῶν καὶ τῶν πλυντηρίων συνίστατο ἐκ λιθοδομῆς, ἡ ὁποίᾳ ἄλλοτε ἦτο ἴσοδομος καὶ ἄλλοτε ἀνώμαλος καὶ πολλάκις συνεπλέκετο μετὰ τῶν φυσικῶν βράχων.

Ἡ στεγανοποίησις τῶν δεξαμενῶν καὶ τῶν πλυντηρίων ἐπετυγχάνετο διὰ δύο στρώσεων κονιαμάτων. Τὴν πρώτην στρῶσιν, εἰς ἐπαφὴν μετὰ τῆς λιθοδομῆς, ἀπετέλει σκυροκονίαμα πάχους 2 - 5 ἔκ., τὸ δποῖον ἔχοησίμευε διὰ τὴν κατ' ἀρχὴν



Εἰκὼν 3. Ἀλλη φωτογραφία τοῦ σκυροκονιάματος.

στεγανοποίησιν τῆς δεξαμενῆς. Φωτογραφίαι ἀριθμ. 2 καὶ ἀριθμ. 3. Τὴν δευτέραν στρῶσιν, τιθεμένην ἐπὶ τοῦ σκυροκονιάματος, ἀπετέλει εἰς δικόν στεγανοποιητικὸν ἐπίστρωμα πάχυμα πάχοντος 1 - 2 χιλ. Διὰ τούτου ἐπετυγχάνετο ἡ πλήρης στεγανοποίησις. Φωτογραφίαι ἀριθμ. 4, 5, 6 καὶ 7.

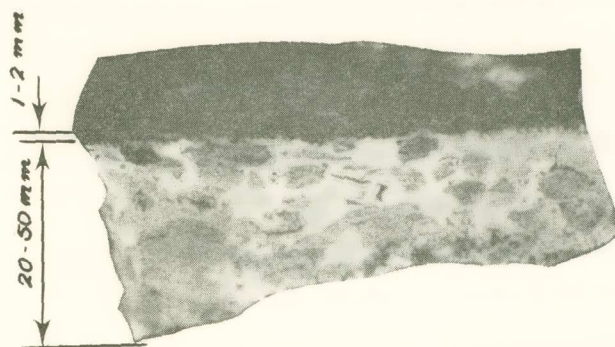
Τὸ ἐπίστρωμα τοῦτο εἶναι ἔξαιρετικῆς ἐπιμελείας, ἐμφανίζεται δὲ ἀπολύτως ὅμοιόμορφον εἰς ὅλα τὰ τμήματα τῶν κατασκευῶν. Ἐτίθετο εἰς ὅλην τὴν ἐπιφάνειαν τῶν δεξαμενῶν ἀκόμη καὶ ἐκτὸς τῆς περιοχῆς ὅπου ὑπῆρχεν ὕδωρ, εἰς τὰς αὖλακας τῶν πλυντηρίων, ὡς καὶ τὰς δεξαμενὰς καὶ τοὺς ἀγωγοὺς αὐτῶν.

4. Ο ΣΥΝΤΕΛΕΣΤΗΣ ΥΔΡΟΠΕΡΑΤΟΤΗΤΟΣ ΤΩΝ ΚΟΝΙΑΜΑΤΩΝ

Εἰς τὸν πίνακα I δίδονται τὰ ἀποτελέσματα τῆς μετρήσεως τοῦ συντελεστοῦ ὑδροπερατότητος δοκιμών τοῦ κονιάματος, ὡς καὶ τοῦ κονιάματος μετὰ τοῦ στε-



Εἰκὼν 4. Φωτογραφία τοῦ κονιάματος μετὰ τοῦ εἰδικοῦ ἐπιστρώματος.

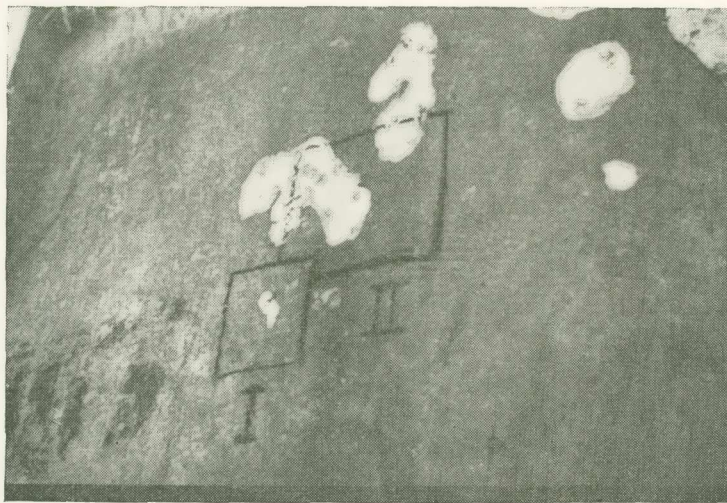


Εἰκὼν 5. Φωτογραφία δεικνύουσα τὸ πάχος τοῦ εἰδικοῦ ἐπιστρώματος.

γανοποιητικοῦ ἐπιστρώματος. Τὰ κονιάματα τῶν δεξαμενῶν ἀνευ ἐπιστρώματος εἶναι ἀνάλογα ὡς πρὸς τὸν συντελεστὴν ὑδροπερατότητος πρὸς σύγχρονον σκυρό-

δεμα τσιμέντου (150 Kg/m^3). Ο συντελεστής ύδροπερατότητος έχει τιμήν $8,1 \times 10^{-8}$.

Ο συντελεστής ύδροπερατότητος των άρχαιών κονιαμάτων μετά έπιστρωματος έχει τιμήν μηδέν.



Εἰκόνα 6. Φωτογραφία τμήματος δεξαμενῆς Λαυρίου εἰς θέσιν Δημολιάκι. Διακρίνεται τὸ εἰδικὸν στεγανοποιητικὸν ἐπίστρωμα.

Ο συντελεστής ύδροπερατότητος δοίζεται κατὰ τὸν τύπον τοῦ Darcy ὡς ἔξης:

$$K = \frac{Q \cdot L}{h \cdot A} \text{ cm/s}$$

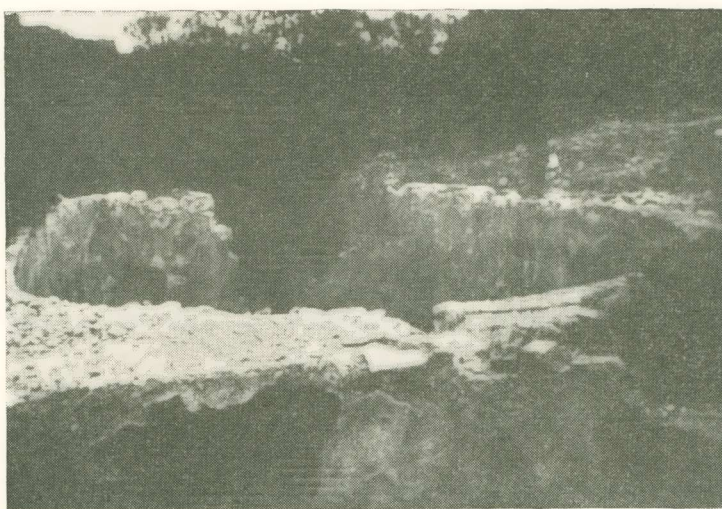
Όπου : K = παροχὴ διερχομένου ύδατος εἰς cm^3/s

L = ὕψος δοκιμίου εἰς cm

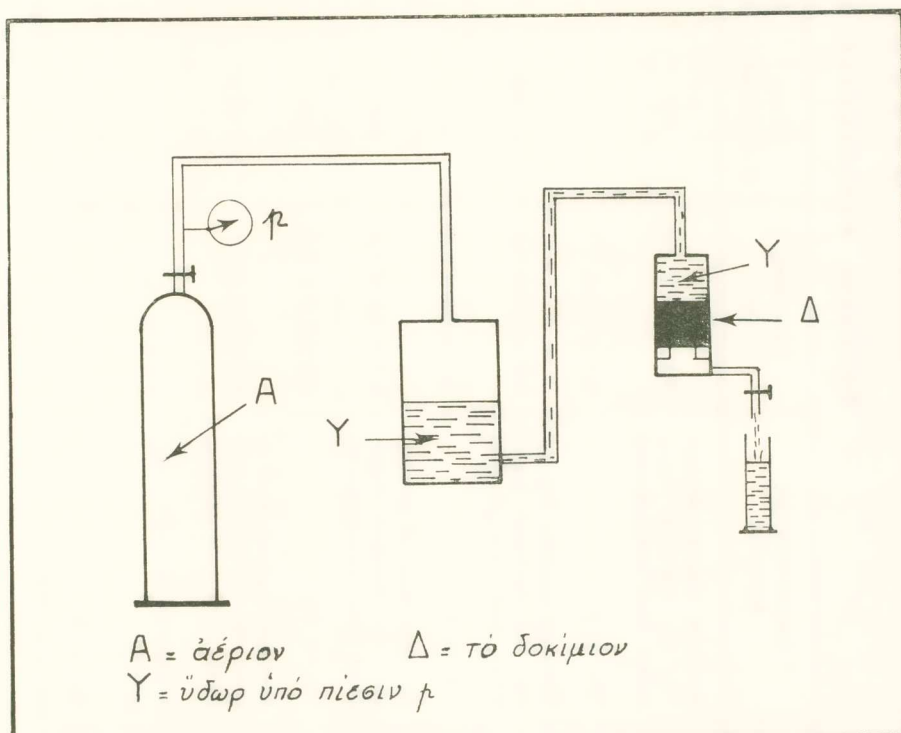
A = ἐπιφάνεια δοκιμίου εἰς cm^2

h = ἡ πίεσις τοῦ ύδατος εἰς cm

Η μέτρησις τοῦ συντελεστοῦ ύδροπερατότητος ἐγένετο διὰ κλασσικοῦ τρόπου, δ ὅποῖς δίδεται στοιχειωδῶς εἰς τὸ σχεδιάγραμμα 8. Η χρησιμοποιηθεῖσα πίεσις ύδατος, ᾧ τὸ 1,5 ἀτμόσφαιραι διὰ τὸ κονίαμα καὶ 3 ἀτμόσφαιραι διὰ τὸ κονίαμα μετὰ τοῦ έπιστρωματος.



Εικών 7. Φωτογραφία δεξαμενής Λαυρίου μετά τοῦ στεγανοποιητικοῦ ἐπιστρώματος.



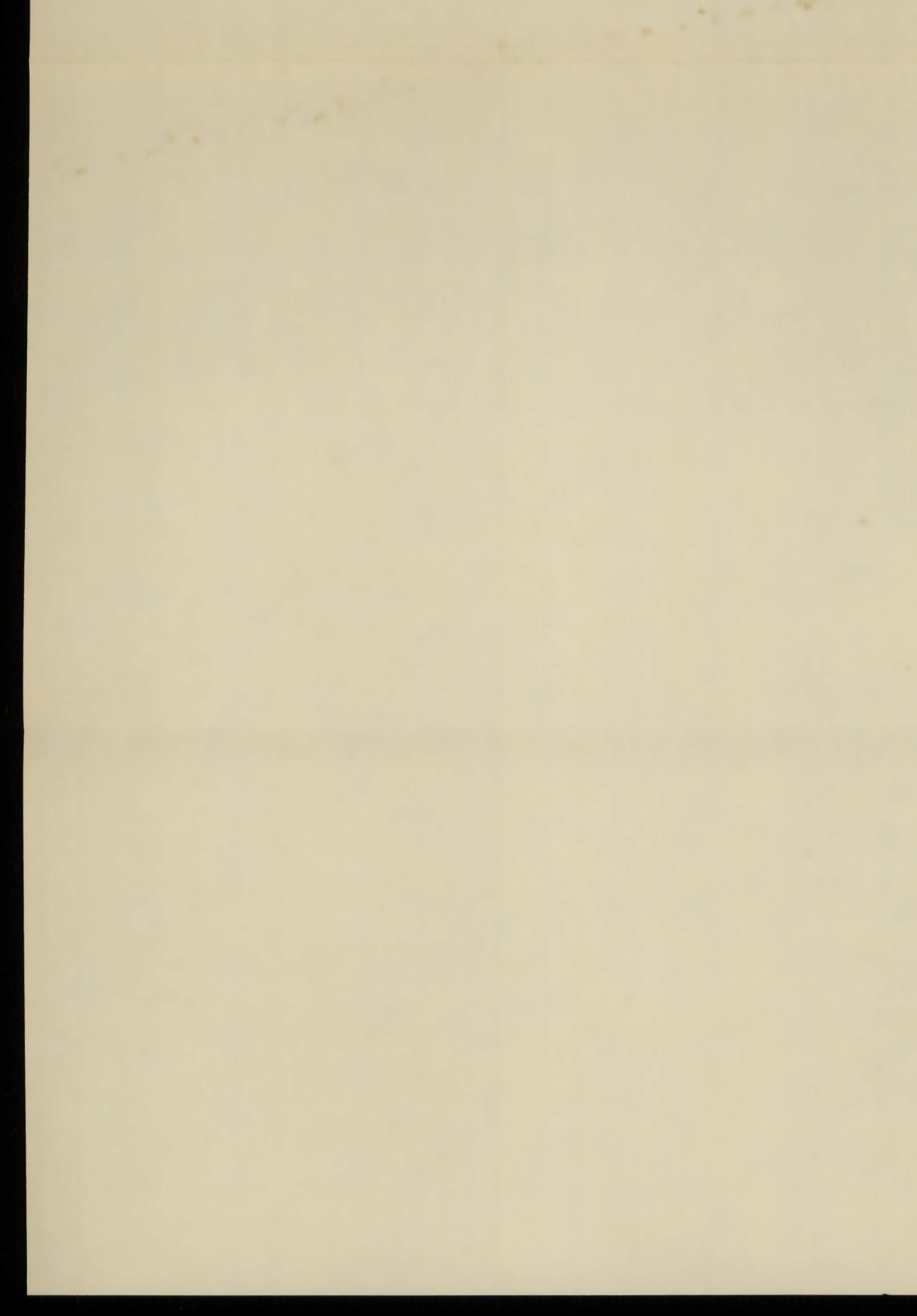
Εικών 8. Σχεδιάγραμμα διατάξεως διὰ τὴν μέτρησιν τοῦ συντελεστοῦ ὑδροπερατότητος.

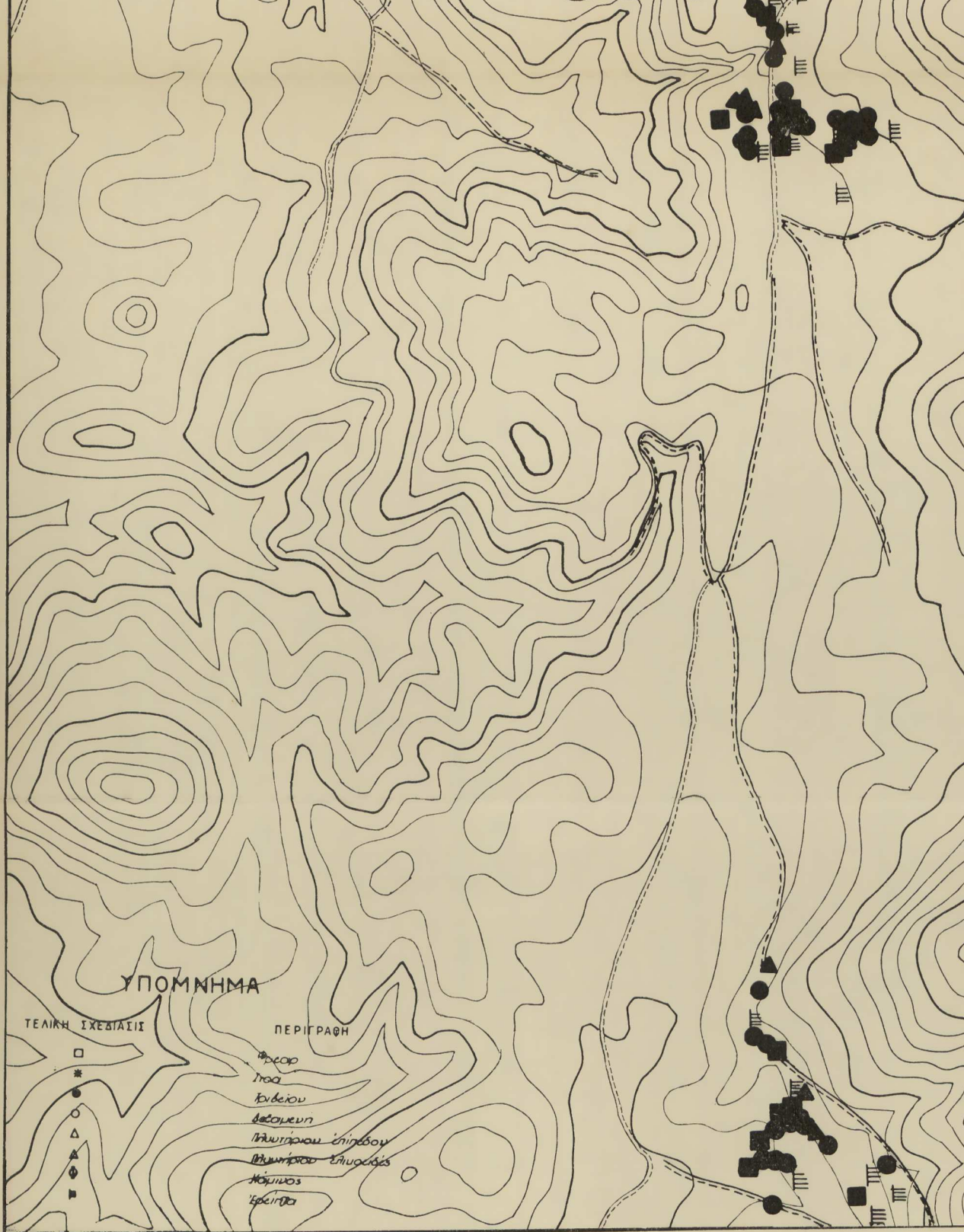
Π Ι Ν Α Ξ Ι.

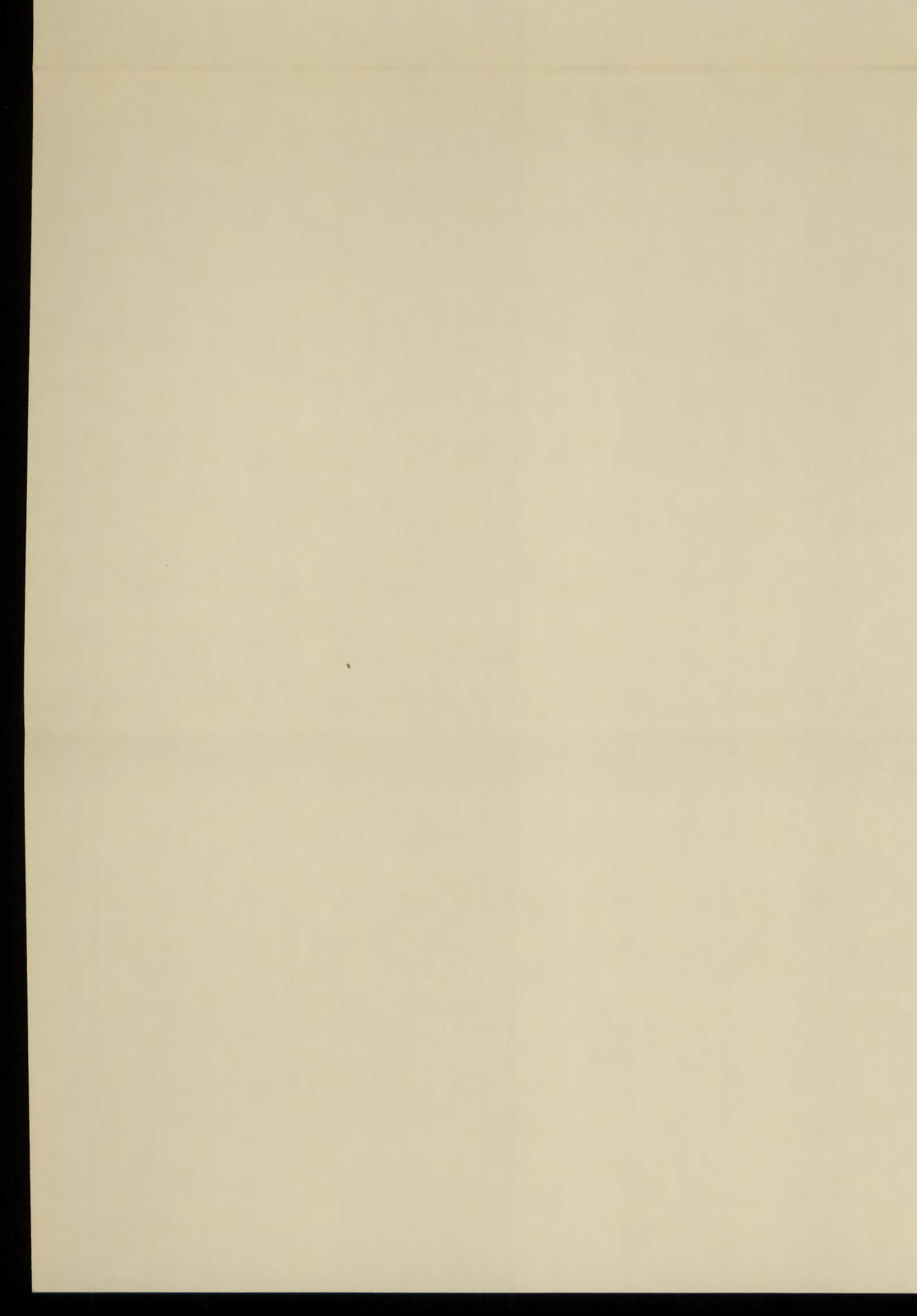
Μέτρησις συντελεστού δροπερατόητος.

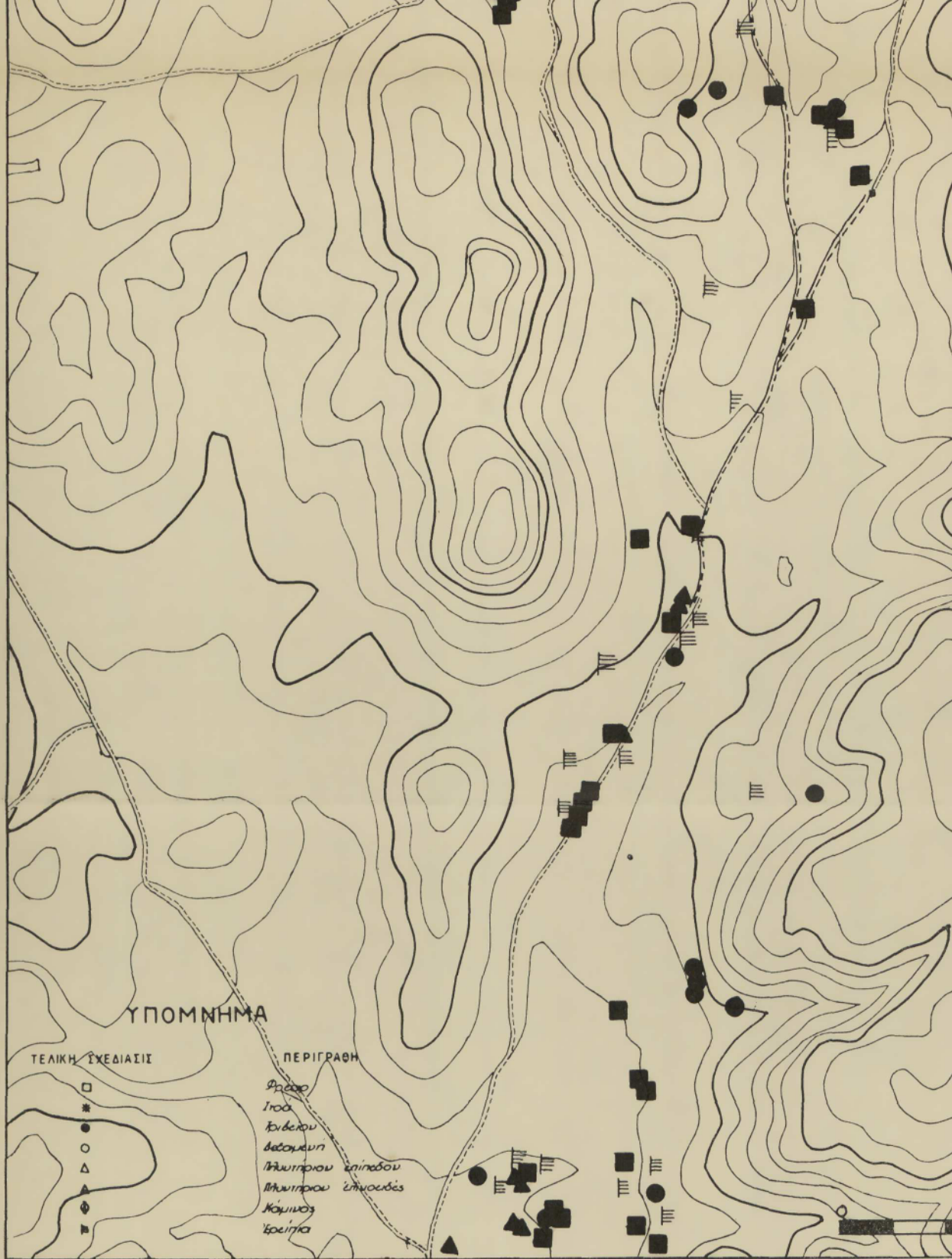
No δοκ.	Χαρακτηριστικά δοκιμών	Διαστάσεις cm	Πίεσης ατμόσφαιρας	Χρόνος έπιδρ. πιέσεως: δραι	*Υδροπροστόης cm/sec	Παρατηρήσεις
1	Κονίαμα ἀρχαίας δεξαμενῆς εἰς περιοχὴν Δημολίακων ἄνευ ἐπιστρώματος	2,4 × 2,4 × 1,8	1,5	0,5	$8,1 \times 10^{-8}$	Δοκίμια διαγώνεον συμπαγῆ ἐν σγέσαι πρός τὰ δοκίμια 5 καὶ 6
2	*Ως τὸ No. 1	2,5 × 2,4 × 2,0	1,5	0,5	$2,5 \times 10^{-7}$	»
3	Κονίαμα ἀρχαίας δεξαμενῆς εἰς περιοχὴν Δημολίακων μετά ἐπιστρώματος	2,5 × 2,0 × 1,3	1,5 - 2,3	24	0	Δοκίμιον συμπλαγές
4	*Ως τὸ No. 3	2,5 × 2,0 × 1,3	3,0	24	0	»
5	Κονίαμα ἀρχαίου πλυντηρίου εἰς περιοχὴν Δημολίακων ἄνευ ἐπιστρώματος	2,5 × 2,5 × 1,5	2,0	0,5	$5,3 \times 10^{-8}$	Δοκίμιον λίαν συμπατές
6	*Ως τὸ No. 5	2,5 × 2,5 × 1,5	2,0	0,5	$4,8 \times 10^{-8}$	»
7	Κονίαμα ἀρχαίου πλυντηρίου εἰς περιοχὴν Δημολίακων μετά ἐπιστρώματος	2,5 × 2,4 × 1,5	1,5 - 2,5	24	0	»
8	Σύγχρονον μπετόν τσιμέντου	2,0 × 1,6 × 1,5	1,5	0,5	$1,3 \times 10^{-7}$	Παρέμεινεν εἰς ἀέρα καὶ θερμοχρασταῖ περιβάλλοντος 30 ὥμερας
9	*Ως τὸ No. 8	2,0 × 1,8 × 1,7	1,5	0,5	$1,1 \times 10^{-7}$	»

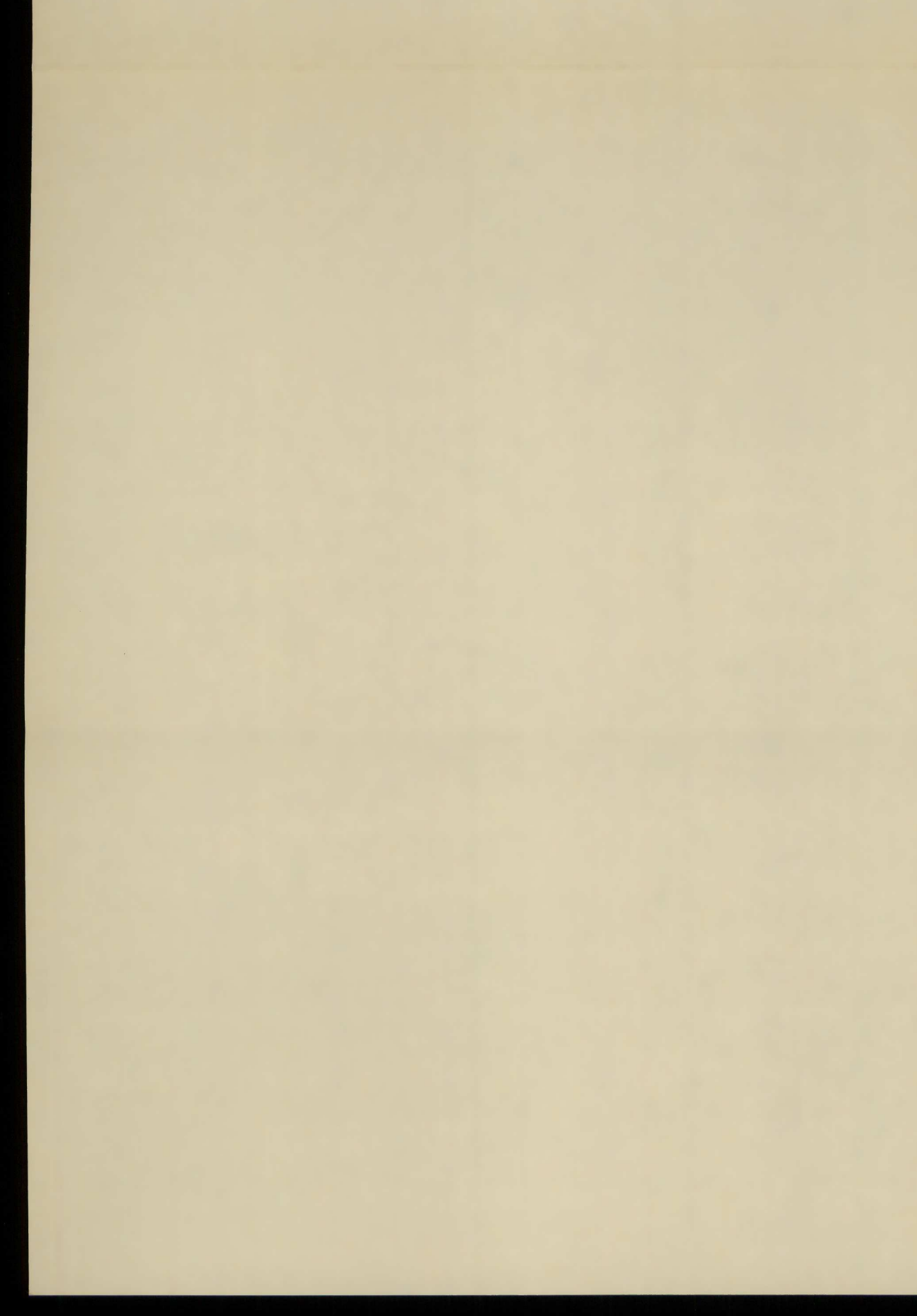


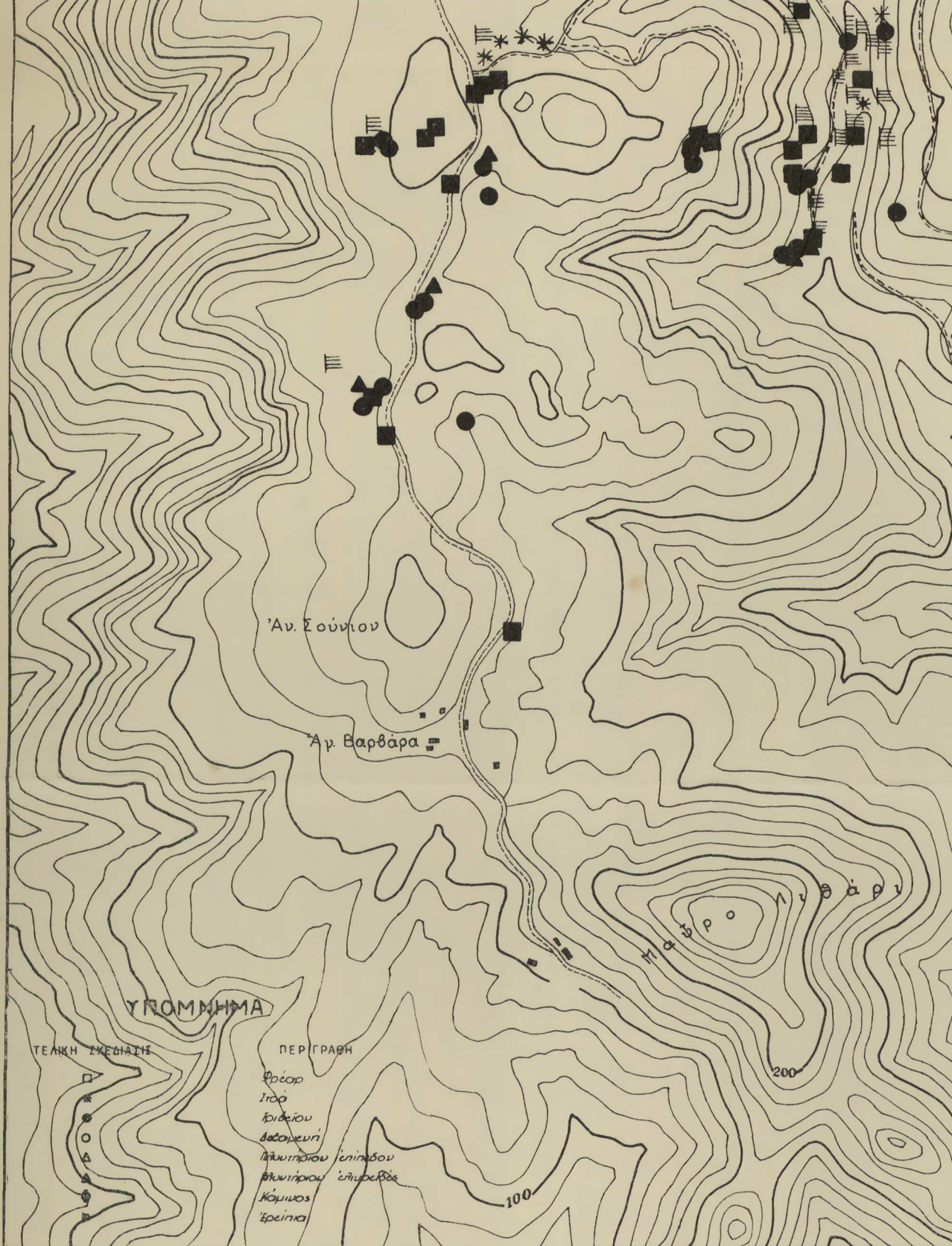


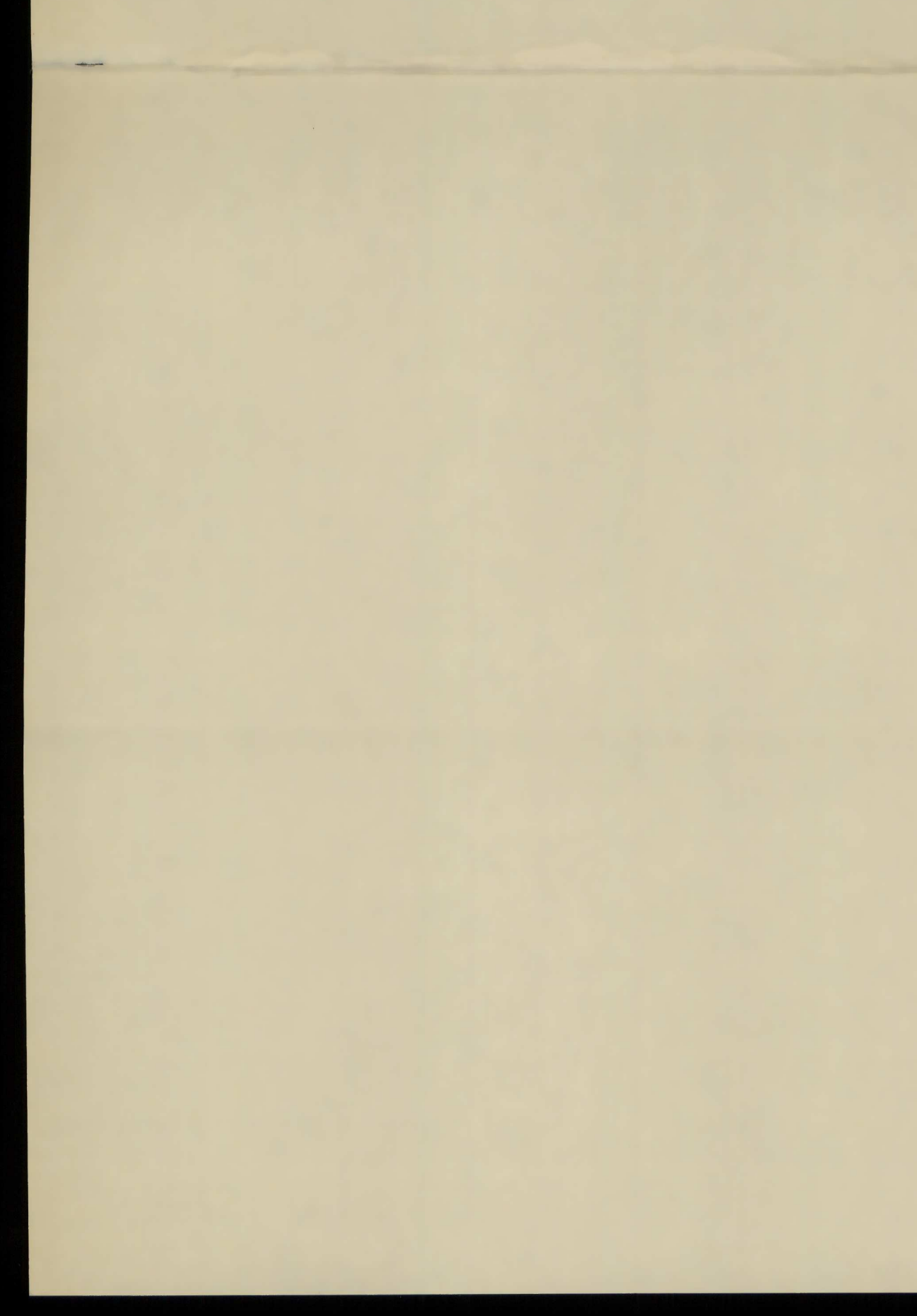


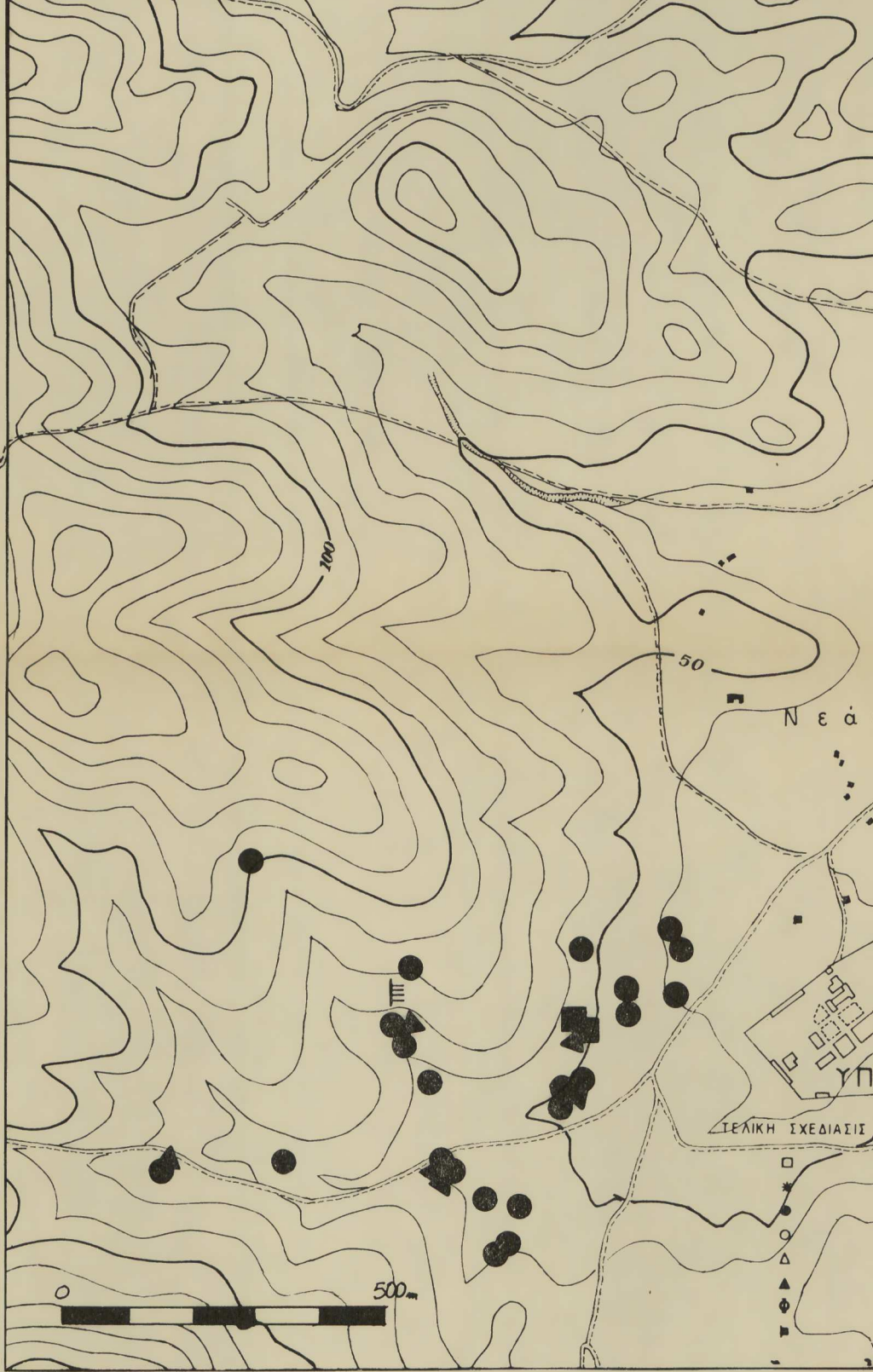


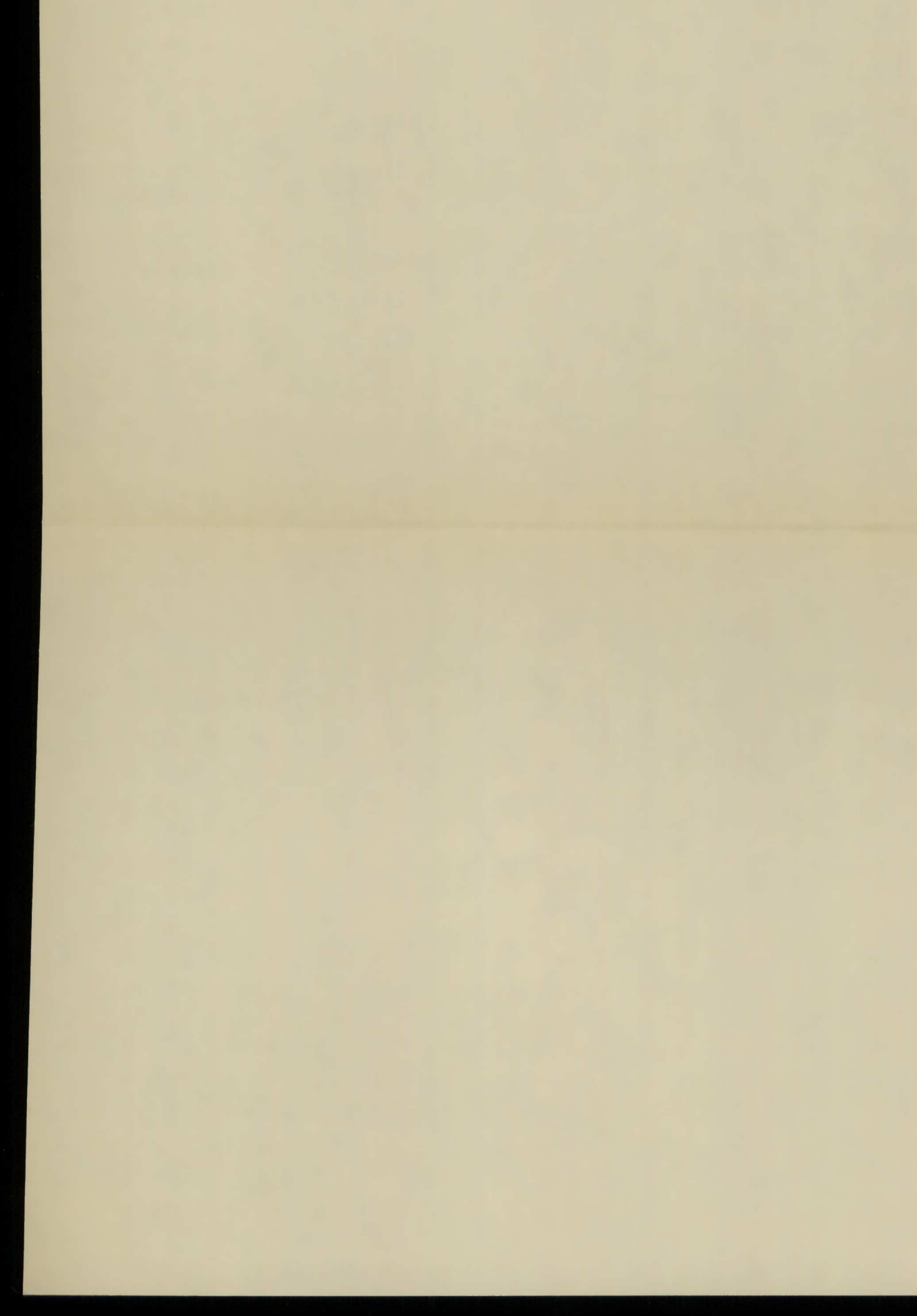




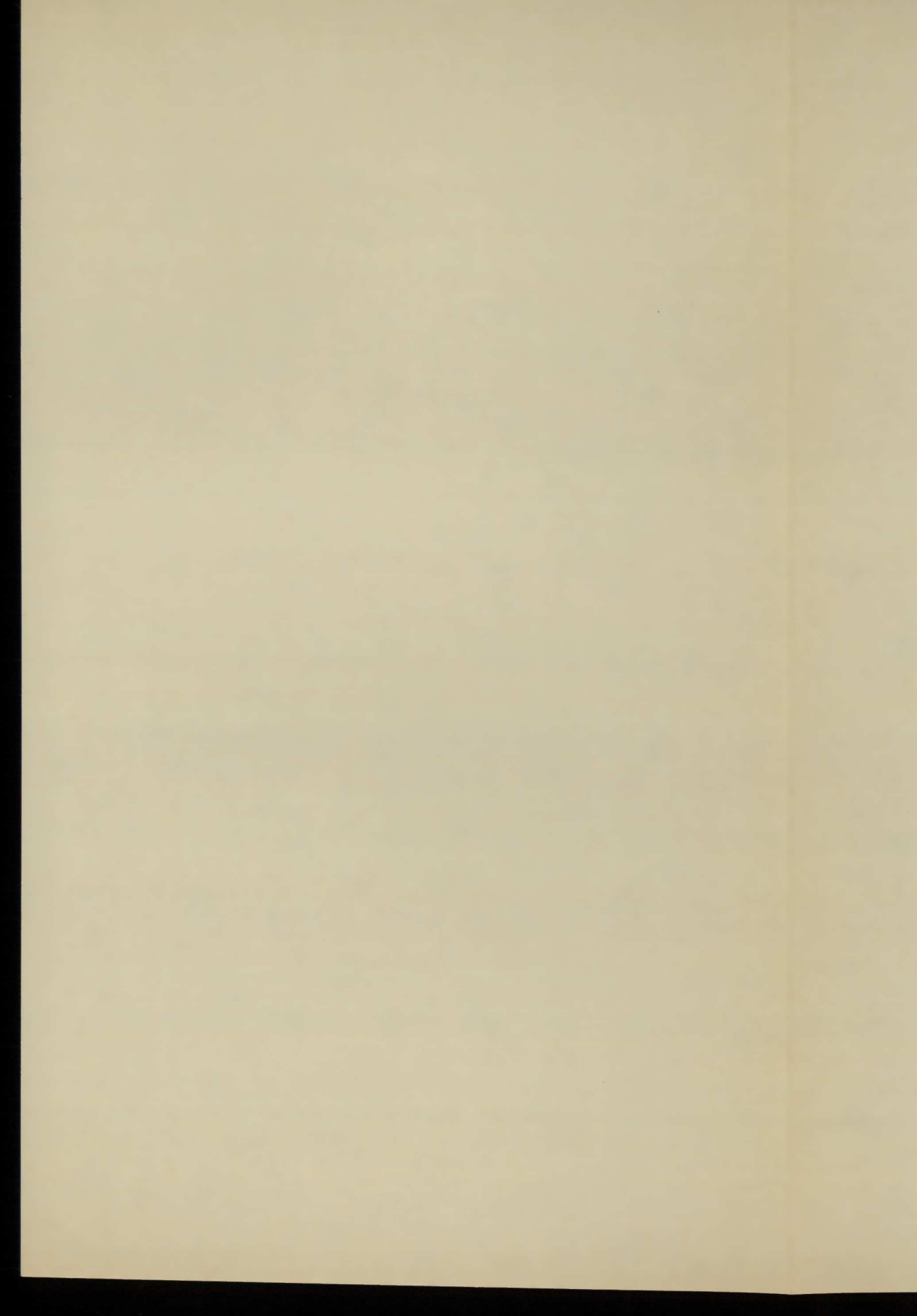












5. ΔΙΑΦΟΡΟΙ ΧΗΜΙΚΑΙ ΑΝΑΛΥΣΕΙΣ

Ίδον μερικαὶ γενικαὶ συμπληρωματικαὶ πληροφορίαι ἐπὶ τῶν ἀρχαίων κονιάτων τῶν δεξαμενῶν τούτων τῆς Λαυρεωτικῆς.

Ἡ μέση ἑκατοστιαία σύνθεσις τοῦ λεπτοῦ εἰδικοῦ στεγανοποιητικοῦ ἐπιστρώματος εἶναι ἡ κάτωθι :

SiO_2	= 5.38 %	CaO	= 5.86 %	ZnO	= 6.28 %
Fe_2O_3	= 5.35 %	MgO	= 4.25 %	MnO	= 18.56 %
Al_2O_3	= 5.23 %	PbO	= 29.27 %		

Ἄπωλεια πυρώσεως εἰς 1000°C = 18.53 %.

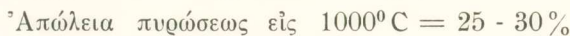
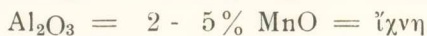
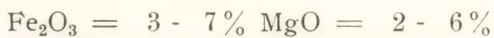
Εἰς τὴν σύνθεσιν ταύτην παρατηρεῖται ὅτι αἱ ἔνώσεις τοῦ μολύβδου ἀποτελοῦν τὸ κύριον συστατικὸν τοῦ ἐπιστρώματος.

Διὰ περιθλάσεως ἀκτίνων X ὑπὸ κόνεως τοῦ ὑλικοῦ τούτου διεπιστώθη ὅτι ὁ μόλυβδος ἐντὸς τοῦ κονιάματος εὑρίσκετο ὡς ἀνθρακικὸς PbCO_3 , ὡς πυριτικὸς Pb_4SiO_6 , ἀλλὰ καὶ ὡς δᾶξειδίον PbO ἐρυθρὸν καὶ κίτρινον.

Ἐκ τῆς ὑπάρχειας δᾶξειδίων τοῦ μολύβδου ἐντὸς τοῦ κονιάματος ἔξαγεται τὸ συμπέρασμα ὅτι ἐγένετο χρῆσις πιθανώτατα λιθαργύρου. Ὁ λιθάργυρος κατὰ τὰς 2,5 χιλιετηρίδας μετεσχηματίσθη εἰς ἀνθρακικὸν μόλυβδον. Ὁ λιθάργυρος ἦτο διαθέσιμος εἰς μεγάλας ποσότητας εἰς τὸ Λαύριον, καθ' ὃσον ὁ ἀργυρος παρήγετο διὰ κυπελλώσεως. Εἶναι πιθανὸν κατ' ἀρχὰς νὰ παρετηρήθη ἐκ τυχαίας προσμίξεως ὅτι ὁ λιθάργυρος σχηματίζει ὑλικὸν καλῶν στεγανοποιητικῶν ἴδιοτήτων. Μετὰ ταῦτα τοῦτο ἐφηδμόσθη συστηματικῶς. Τὰ συστατικὰ τοῦ στεγανοποιητικοῦ ἐπιστρώματος ἀπετελοῦντο ἐκ λεπτοτάτης κόνεως λιθαργύρου ἀναμίκτου μετὰ λεπτοτάτης κόνεως σιδηρομαγγανιούχου μεταλλεύματος, ἀσβέστου καὶ ἀργίλου.

Ἐκεῖνο τὸ δόποιον προκαλεῖ μεγάλην ἐντύπωσιν εἶναι ἡ ἀρτιότης τῆς τοποθετήσεως τοῦ ἐπιστρώματος ἀπὸ ἀπόψεως δμοιομορφίας. Τὸ πάχος εἶναι σταθερὸν 1 - 2 mm. Ὁ τρόπος κατὰ τὸν δόποιον ἐγένετο ἡ τοποθέτησις αὗτη ἀποτελεῖ πραγματικὸν τεχνικὸν αἴνιγμα πρὸς μελέτην καὶ λύσιν. Εἶναι πάντως χαρακτηριστικὸν τοῦ βαθμοῦ τῆς δεξιοτεχνίας τῶν κατασκευαστῶν. Ἡ συνοχὴ καὶ ἡ δμοιομορφία τῆς ἐπικαλύψεως, ὡς καὶ ἡ προσαρμογὴ ταύτης εἰς τὰς παντοειδεῖς ἀνωμαλίας τοῦ ὑποστρώματος εἶναι καταπληκτική. Τὸ εἰδικὸν τοῦτο στεγανοποιητικὸν ἐπίστρωμα παρουσιάζει μεγάλην ἐλαστικότητα καὶ ἀντοχὴν εἰς τὰς καιρικὰς μεταβολὰς. Μέχρι καὶ σήμερον δὲν ἐμφανίζει φύγματα. Δέον νὰ σημειωθῇ ὅτι εἰς τὸ Λαύριον αἱ διαφοραὶ θερμοκρασίας εἶναι σημαντικαί.

Αἱ κονίαι τῶν σκυροκονιαμάτων τῶν δεξαμενῶν τοῦ Λαυρίου ἔχουν τὴν ἔξης ἑκατοστιαίαν σύνθεσιν κατὰ μέσον ὅδον:



Ἐκ τῶν διαγραμμάτων περιθλάσσεως ἀκτίνων X ὑπὸ τῶν κονιῶν τούτων διεπιστώθη, ὡς ἄλλωστε ἀνεμένετο, ὅτι τὸ ἀσβέστιον εὑρίσκεται ὡς ἀνθρακικὸν (CaCO_3), τὸ δὲ πυρίτιον ὡς διοξείδιον τοῦ πυριτίου (SiO_2). Ἐχουν σχηματισθῆ ἐπίσης ἔνυδροι ἀσβεστοπυριτικὰ ἐνώσεις.

S U M M A R Y

In this paper we present some results of our investigations concerning the ancient water cisterns of Laurion. In this location there still are several rain water cisterns used by ancient Greeks for the feeding of the ore washers.

In order to water proof these cisterns, the Greeks used a special lining material of a thickness of about 1 - 2 mm and with outstanding hydraulic properties. This paper deals mainly with the following two subjects:

1. Preparation of maps of Laurion displaying ancient metallurgical installations notably grinders, cisterns, ore washers, spiral ore washers, furnaces and also mining installations wells and gallery entrances. The compilation of the maps was undertaken by surveying engineers.

Map No 1 presents a general view of the area with all the remaining ancient metallurgical installations, while maps A, B, Γ, Δ, E, give the details.

2. Determination of the hydraulic coefficient of the water - proofing lining used for the cisterns.

A classical method was used for this determination, which applies the Darcy's equation $K = \frac{Q \cdot L}{h \cdot A}$ cm / sec, where Q = water supply in cm^3 , L = height of the sample in cm, A = surface of the sample in cm^2 and h = water pressure in cm. Figure 7 shows the arrangement used for the

experiments. The results of the measurements are given in Table 1. The hydraulic coefficient was found to be zero.

The composition of the special hydraulic lining was found to be the following :

SiO_2	= 5.38 %	CaO	= 5.86 %	ZnO	= 6.28 %
Fe_2O_3	= 5.35 %	MgO	= 4.25 %	MnO	= 18.56 %
Al_2O_3	= 5.23 %	PbO	= 29.27 %		
Loss by calcination (1000°C) = 18.53 %.					

X - Rays diffraction revealed that the lead was present in the water - proofing material as PbCO_3 , PbO and Pb_4SiO_4 .

Since there was induced big amount of litharge (PbO) in the Laurion area and since PbO was found in the lining material, it is very probable that this material was a mixture of grounded litharge, grounded iron manganese ore, sand, quicklime and clay.

The composition of the mortars that were used underneath the lining was as follows :

SiO_2	= 20 - 30 %	CaO	= 26 - 34 %	$\text{K}_2\text{O} \& \text{Na}_2\text{O}$	= 0,5 - 1 %
Fe_2O_3	= 3 - 7 %	MgO	= 2 - 6 %		
Al_2O_3	= 2 - 5 %	MnO	= traces		
Loss by calcination (1000°C) = 25 - 30 %					

B I B L I O G R A F I A

1. A. Ardaillon, Les mines du Laurion dans l'Antiquité. Paris 1897.
2. A. Cordella, Le Laurion. Marseill 1869.
3. K. Cunningham, The silver of Laurium. 1967.
4. Φ. Νέγρης, Laveries anciennes du Laurion. Παρίσι 1881.
5. A. Όρλανδος, Τὰ "Υλικά Δομῆς τῶν Ἀρχαίων Ἑλλήνων. Ἀθῆναι 1959 - 60.
6. G. E. Troxell, H. E. Davis, J. W. Kelley, Composition and Properties of Concrete. Mc Graw Hill 1968.